

# **أعمال المؤتمر الجغرافي السادس عشر**

"دراسات جغرافية في البيئات الليبية — واقع و تحديات"

تنظيم قسم الجغرافيا بكلية الآداب — جامعة طبرق  
بالتعاون مع الجمعية الجغرافية الليبية  
(1 - 2 - 3 / مارس / 2022م)

## **المجلد الثاني**

**تحرير:**

د. جمعة أرحومة الجالي      أ.د. سميرة محمد العياطي

**تنسيق:**

د. أميرة أحمد عثمان      د. محمود محمد سليمان  
د. بشير محمد الطيب

**مراجعة لغوية:**

د. نورة منصور بلحوق      د. سالم مرجان الدبوس

**منشورات**

**جامعة طبرق**

الطبعة الأولى 2022 م

## منشورات جامعة طبرق

أ.د حسن علي حسن      رئيس جامعة طبرق  
د. فوزي عمر الحداد      مدير عام إدارة المكتبات والمطبوعات والنشر

حقوق الطبع والنشر والتوزيع  
محفوظة لجامعة طبرق

ليبيا - طبرق

[www.ut.edu.ly](http://www.ut.edu.ly)

[info@ut.edu.ly](mailto:info@ut.edu.ly)

رقم الإيداع القانوني : 255 / 2022 دار الكتب الوطنية

رقم الإيداع الدولي : ردمك 4 - 12 - 838 - 9959 - 978 ISBN

الوكالة الليبية للترقيم الدولي الموحد للكتاب - دار الكتب الوطنية بنغازي

الاجراء الفني

أنور الشريف الأمين

## لجان المؤتمر

### اللجنة الرئيسية

رئيس الجامعة والرئيس الشرفي للمؤتمر	د. حسن علي حسن
رئيس المؤتمر	د. جمعة أرحومة الجالي
وكيل الجامعة للشؤون العلمية	أ.د. وليد شعيب ادم
عميد كلية الآداب	د. إدريس عبد الصادق رحيل
الكاتب العام	أ.منير هلال لامين

### اللجنة العلمية للمؤتمر

رئيساً	أ.د. سميرة محمد العياطي
عضوًا	أ.د. هويدي عبد السلام الريشي
عضوًا	أ.د. يوسف محمد زكري
عضوًا	أ.د. خالد محمد بن عمور
عضوًا	أ.د. الهادي عبد السلام عليوان
عضوًا	د.جمعة أرحومة الجالي
عضوًا	د. سالم عبد الرسول المهدي
عضوًا	د. عبد السلام أحمد الحاج

### اللجنة التحضيرية للمؤتمر

رئيساً	د. أميرة أحمد عثمان
عضوًا	د. محمود محمد سليمان
عضوًا	د. بشير محمد عبد السلام
عضوًا	د. زياد عبد العزيز ابريك
عضوًا	أ. عادل محمد عمر
عضوًا	أ.صلاح إبراهيم موسى

ت	المحتويات	الصفحة
1	حماية البيئة من التلوث النفطي في ضوء القانون الدولي	7
2	الانتقال الديموغرافي في ليبيا" العوامل المؤثرة فيه وآثاره"	25
3	التغير في الهيكل العمري وأثره في العائد الديموغرافي للسكان في ليبيا (الوضع الراهن والاتجاهات المستقبلية)	52
4	التباين المكاني لوفيات الأجنة في مدينة سبها للمدة (-2012 2020م)	77
5	الخصائص السكانية والجريمة في بلدية الخمس	101
6	خصائص ومشكلات استعمال الأراضي بمدن الواحات الليبية (غدامس - هون - جالو نموذجًا)	117
7	التصنيف الوظيفي لمدينة طبرق خلال المدة (1995 - 2020م)	141
8	التحليل المكاني لنمط توزيع المراكز الحضرية في إقليم البطنان	166
9	نمط التوزيع المكاني للمركز الحضرية بإقليم الخمس الفرعي	181
10	التقسيمات العشوائية وأثرها على الأراضي الزراعية بمنطقة الوسيط (الجبل الأخضر) خلال المدة (2010 - 2020م)	196
11	أثر التوسع العمراني على مقومات التنمية الزراعية في ليبيا - منطقة سبها نموذجًا	210
12	كفاءة التوزيع المكاني لمدارس التعليم الثانوي في بلدية بني وليد لسنة 2021م	229
13	واقع وأفاق الطاقة الكهربائية في بلدية زليتن دراسة جغرافية	251
14	الطاقة المتجددة في ليبيا ودورها في تحقيق التنمية المستدامة	271
15	تقدير الإشعاع الشمسي واختيار أنسب المواقع لمحطات الطاقة الشمسية بمناطق (جالو، هون، سبها، مرزق)	302
16	تربية الدواجن في منطقة بني وليد (دراسة في الجغرافيا الاقتصادية)	222
17	الآثار الجيوسياسية على الدول المصدرة للنفط في ظل تنامي مصادر الطاقات المتجددة (ليبيا دراسة حالة)	347
18	الحقائق والظواهر الجغرافية في الربع الأول من القرن الكريم	374
19	بحر الروم في كتابات أعلام الفكر الجغرافي (المسعودي - ابن حوقل - المقدسي - الدمشقي)	397
20	مكانة الجغرافيا بين العلوم الأخرى	413
21	الجغرافيا ومعركة الهوية	433

## تقدير الإشعاع الشمسي، واختيار أنسب المواضع لمحطات الطاقة الشمسية بمناطق (جالو، هون، سبها، مرزق)

د. ريم علي الزردومي<sup>1</sup>      أ.2 سعد رجب لشهب      أ.2 بسمة سليمان الغويل  
 1محاضر بقسم الصحة البيئية كلية الصحة العامة، جامعة بنغازي  
 2 محاضر بقسم الموارد والبيئة كلية الآداب والعلوم المرج، جامعة بنغازي

### الملخص

ناقشت هذه الورقة تقدير الإشعاع الشمسي واختيار أنسب المواضع لمحطات الطاقة الشمسية بمناطق (جالو، هون، سبها، مرزق)، واعتمدت الدراسة على تقدير معدلات الإشعاع الشمسي للأعوام (2021، 2022، 2023)، حيث هدفت الدراسة إلى تحديد المناطق التي تحقق الاستفادة في استخدام الطاقة الشمسية، واختيار وتحديد مواضع إقامة المحطات وفقاً لمعايير ثابتة عن طريق بناء نماذج الملائمة المكانية للوصول إلى موازنة يتم من خلالها تحديد هذه المواضع، وتم الاعتماد على عدة مناهج وأساليب للدراسة منها المنهج الإقليمي، ومنهج التحليل المكاني، والأسلوب الكمي التحليلي، والأسلوب الإحصائي، بالإضافة إلى أسلوب المعايير المتعددة، ومن أهم النتائج التي تم التوصل إليها أن أعلى قيمة للإشعاع الشمسي المقدّر للشهور تركزت في مدينة مرزق حيث بلغت (6.6) كيلو واط ساعة/م<sup>2</sup>، خلال العام 2022، تركزت أعلى متوسط لقيم الإشعاع الشمسي المقدّر لعام 2021 ماقيمته (9.8) في مدينة مرزق، في حين أن أدنى متوسط بلغ (2.3) في مدينة سبها، وتركز أعلى متوسط لقيم الإشعاع الشمسي المقدّر (9.4) لعام 2023 في مدينة هون في حين أن أدنى متوسط لنفس العام بلغ (3.5) في مدينة مرزق.

الكلمات المفتاحية : محطات الطاقة الشمسية، الإشعاع الشمسي، أسلوب المعايير المتعددة.

---

## Solar radiation assessment and selection of the most suitable locations for solar plants in the regions (Galo, Hun, Sabha, Murzuq)

### Abstract:

This paper discussed solar radiation estimation and the selection of the most suitable locations for solar plants in the regions (Galo, Hun, Sebha and Murzuq). The study was based on solar radiation estimates for the years (2021, 2022, 2023). The study aimed to identify regions that would benefit from the use of solar energy and to select and locate stations according to fixed standards by building spatial appropriatability models in order to arrive at a balance of locations. Several methods and methods were used, including the regional method, the spatial analysis method, the analytical quantitative method, the statistical method and the multiple standards method. The main findings were that the highest solar radiation value for months was concentrated in Murzuq, where During 2022, the highest average solar radiation values for 2021 (9.8) were in Marzuq, while the lowest average was 2.3 in Sabha, and the highest average solar radiation values for 2023 (9.4) were in Hun, while the lowest average for the same year was 3.5 in Marzuq.

**Keywords:** Solar Power Plants, Solar Radiation, Geographic Information Systems, Multiple Standards Method.

## 1. مقدمة

تعد شبكة الطاقة الكهربائية في معظم البلدان قديمة إلى حد كبير ومركزية وقائمة على أساس غير متجدد، حيث أن مصادر الطاقة اليوم تتطلب إجراءات تنظيمية من إجراء تخفيضات حادة في انبعاثات ثاني أكسيد الكربون، وغازات الاحتباس الحراري من مصادر الطاقة المستخدمة، وبالتالي أصبح الاستخدام الواسع النطاق لمصادر الطاقة المتجددة إلزامياً (Papageorgas 2013، Smart Solar Panels).

وتعد الطاقة الشمسية إحدى الخيارات الاستراتيجية الرئيسة لتلبية الاحتياجات المستقبلية والمحلية والعالمية من الطاقة لذا فإنها تمتاز بتوافرها في معظم دول العالم، علاوة على كونها طاقة نظيفة غير ملوثة للبيئة ولا تحدث ضوضاء، كما يمكن تصنيعها محلياً بما يتلاءم مع واقع واحتياجات تنمية العديد من المجالات، والطاقة الشمسية طاقة متجددة وباقية إلى الأبد بمعنى أنها مصدر مأمون لا يمكن احتكاره“ (فتحي وشومان، 2018).

وأكدت التجارب العالمية وجود علاقة وطيدة فيما بين نجاح التنمية وما يتم توفيره من طاقة تحركها وتديرها، وتعد الطاقة الشمسية من أكبر مصادر الطاقة المتجددة على سطح هذا الكوكب فالأرض تستقبل ما يعادل 10 أضعاف الطاقة المخزنة في جميع احتياطات الطاقة غير المتجددة (الحاج، 2016).

فقد هيمنت الطاقة الشمسية على الاستثمار العالمي في توليد الطاقة الجديدة بشكل لم يسبق له مثيل في عام 2017، وأضاف العالم مستويات قياسية جديدة للطاقة المتجددة التي وصلت إلى 98 جيجاوات من الطاقة الشمسية الجديدة، والذي يفوق بكثير الإضافات الصافية لأي تكنولوجيا أخرى، كما اجتذبت الطاقة الشمسية استثمارات أكثر بكثير بلغت 160.8 مليار دولار بزيادة 18%، مقارنة بأي تقنية أخرى، وشكلت نحو 57% من مجموع الموارد المتجددة في العام الماضي، باستثناء الموارد المائية الضخمة البالغة 279.8 مليار دولار، وهي أعلى من الاستثمار الجديد في طاقة توليد الفحم والغاز بما يقدر بنحو 103 مليارات دولار (الحاج، 2016).

وتقع منطقة الدراسة في قلب الحزام الشمسي ويتراوح متوسط الإشعاع السنوي ما بين (3000-3500) ساعة / السنة، وهذا الإشعاع مرتفع ويصل في بعض المناطق الليبية إلى (6Kw/ 2m)، كما صنفت بعض الدراسات موارد الطاقة الشمسية في ليبيا من الأعلى على مستوى العالم كونها تتميز بمعدلات إشعاع مرتفعة معظم أيام السنة تتدرج من (1900 Kw/ 2m) في السنة على ساحل البحر المتوسط إلى ما يزيد عن (2800 Kw/ 2m) في السنة في مناطق الصحراء (الصيد، 2018).

ونظراً لاتساع المنطقة ووقوعها ضمن الصحراء الليبية ما جعلها تمتلك إمكانات سطوع كبيرة تشجعها على استخدام هذا المصدر، كذلك اتساع النطاق

الصحراوي الذي يمثل حوالي 80 % من مساحة ليبيا والذي يسمح باستغلاله لإقامة محطات لتوليد الطاقة الشمسية ونقل إنتاجها من الكهرباء إلى المدن، إذ يبلغ الإشعاع الشمسي قرابة 2800 كيلو وات / ساعة للمتر المربع في السنة بالصحراء الليبية فليبيا قادرة عن إنتاج 7% من الإنتاج العالمي للطاقة الشمسية (ندار وبالحاج، 2021).

إن استخدام الطاقة الشمسية في إنتاج الكهرباء في العديد من المناطق النائية والريفية يساعد على تحسين مستوى المعيشة وتوفير احتياجات هذه المناطق من الكهرباء بالتكلفة المناسبة لهم، علاوة على تحسين نوعية الحياة لما يوفره من خدمات تعليمية وصحية أفضل لسكان هذه المناطق (فتحي وشومان، 2018).

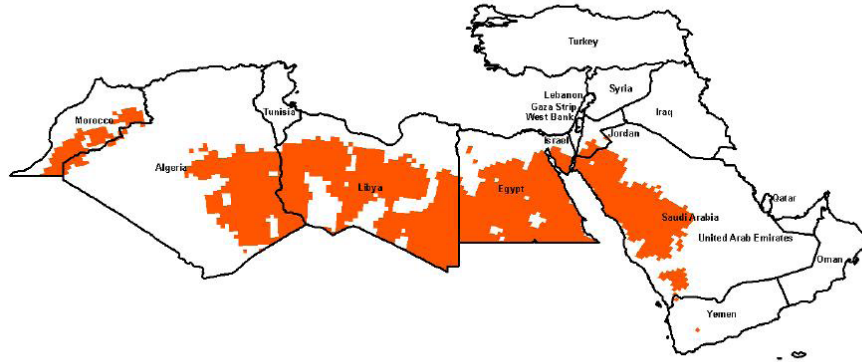
وتعد الطاقة الشمسية من أهم مصادر الطاقة المتجددة بليبيا، وتسعى الدولة جاهدة لتطوير مجال استخدامها على الرغم من أن الاهتمام باستغلالها يعد حديثا وبحكم الموقع الجغرافي أو الفلكي بين دائرتي عرض 18. 45 و 57. 32 فإن الأشعة الشمسية تصل إلى 8 كيلو وات / الساعة للمتر المربع الواحد، وساعات السطوع -3200 4000 ساعة في السنة، وتبلغ كمية الطاقة الشمسية الساقطة على مساحة ليبيا خلال سنة واحدة 350×103 (3.5 مليارات) كيلووات / ساعة وهو ما يفوق 100000 مرة للاحتياج الكلي للكهرباء المتوقعة في ليبيا لعام 2040 (قلية، 2019).

جدول (1) مصادر الطاقة المتجددة وغير المتجددة ونسبة وجودها في ليبيا

البترول	الغاز الطبيعي	الطاقة الشمسية	طاقة الرياح
احتياطي بأكثر من 43 بليون برميل من النفط	احتياطي بأكثر من 10 بليون برميل من الغاز	إشعاع شمسي بمتوسط 2470 Kwhim21 day	سرعة رياح بمتوسط عالي بمناطق متعددة
		ثاني أعلى إشعاع بالعالم	موقع عالمي جذاب

المصدر: عمر علي شنب، وآخرون، 2016، ص7.

من خلال هذه الدراسة تبين أن الظروف الطبيعية والبشرية لمنطقة الدراسة تساعد إلى حد كبير على استغلال الطاقات المتجددة المتاحة في إقامة العديدة من المشاريع التنموية المستدامة حيث أن منطقة الدراسة تطول فيها مدة السطوع بحيث تتجاوز 10 ساعات في متوسطها العام مما يرفع من إمكانية إنتاج معدلات عالية من الطاقة، ويُعد استخدام الطاقات المتجددة من أبرز الاتجاهات في التنمية المستدامة.



5 kWh/m<sup>2</sup>/day

شكل (1) يوضح مناطق أكثر من الحد الأدنى لتركيز الإشعاع الشمسي الشهري يكون فيها التركيز اكبر من

## 2. مشكلة الدراسة

تكمن مشكلة الدراسة في كيفية اختيار أنسب المواضع لإقامة محطات الطاقة الشمسية من خلال التعرف علي كميات الإشعاع الشمسي السنوي، وتقديره مستقبلاً للوصول الي أنسب المواقع لإقامة محطات الطاقة الشمسية.

## 3. تساؤلات الدراسة

1- أين تتركز أعلى المتوسطات وأدناها لقيم الإشعاع الشمسي في نطاق منطقة الدراسة؟

2 - ما هي الشروط الملائمة لاختيار مواقع محطات الطاقة الشمسية؟

## 4. أهداف الدراسة

1- تحديد المناطق التي تحقق الاستفادة في استخدام الطاقة الشمسية.  
2 - اختيار وتحديد مواضع إقامة المحطات وفقاً للمعايير الأنسب لتجميع الطاقة الشمسية.

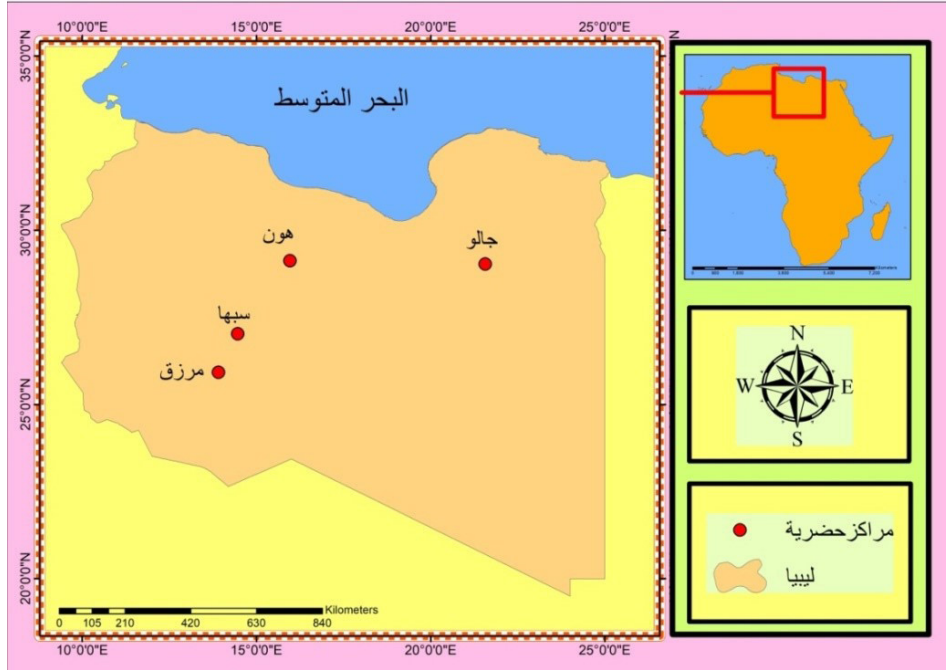
## 5. أهمية الدراسة

1- تعد الطاقة الشمسية أحد البدائل المهمة للطاقة الكهربائية كونها طاقة دائمة غير ناضبة.  
2- تقصي إمكانية استغلال هذا الفضاء الصحراوي الشاسع بما يحقق مصدر دخل للدولة ومصدراً بديلاً للطاقة.

## 6. موقع منطقة الدراسة وحدودها :

تقع المحطات المستهدفة بالدراسة، والمتمثلة في مناطق سبها وهون ومرزق

وجالو في النطاق الصحراوي لليبيا بين دائرتي عرض 29.30.00 و 25.53.24 شمالاً، وخطي طول 21.37.48 و 13.58.12 شرقاً، شكل (2).



المصدر: عمل الباحث باستخدام Arc Map 10.5،

شكل (2) منطقة الدراسة.

- 1.6- الحدود الزمنية: اعتمدت الدراسة عند إجراء عملية التقدير على بيانات الإشعاع الشمسي اليومية والشهرية للسنوات (2021، 2022، 2023).
- 2.6- الحدود الموضوعية: ركزت الدراسة على تقدير الإشعاع الشمسي بمدن سبها ومرزق وهون وجالو باستخدام نماذج الارتفاعات الرقمية ومقارنتها مع البيانات المقاسة في محطات الأرصاد المناخية.
- 3.6- محطات الأرصاد الجوية المستهدفة بالدراسة:

جدول (2) محطات منطقة الدراسة

الرقم الدولي	المحطة	الارتفاع عن مستوى سطح البحر	المسافة عن البحر المتوسط / كم	الاحداثيات	
				E	N
62161	جالو	59	225	021 - 34	29 - 02
62131	هون	267	241	015 - 57	29 - 07
62124	سبها	435	606	014 - 27	27 - 01
—	مرزق	446	754	013، - 57	25 - 56

المصدر: المركز الوطني للأرصاد الجوية، طرابلس.

## 7 - مناهج الدراسة وأساليبها:

1.7- المنهج الإقليمي: في دراسة إمكانيات استخدام الطاقة الشمسية في الإقليم الصحراوي الواقع في الجنوب الليبي، والذي قد تعمم نتائجه على نظيره من الأقاليم في المنطقة العربية.

2.7 - منهج التحليل المكاني: تم الاعتماد على هذا المنهج في إبراز الاختلافات المكانية وتحليلها بمنطقة الدراسة.

3.7- الأسلوب الكمي التحليلي: للتعامل مع البيانات المتعلقة بالعناصر المناخية، وتحليلها وتمثيلها في جداول وأشكال بيانية.

4.7- أسلوب المعايير المتعددة: الذي يهدف إلى التوصل إلى نموذج نهائي يمكن الحكم من خلاله على مدى الملاءمة المكانية، لإنشاء محطات طاقة شمسية، جدول (3).

تم حساب المناسيب والانحدار على نموذج الارتفاع الرقمي DEM نوع Srtm بدقة مكانية 30×30 متر، وتم استخدام النموذج بعد عملية الأسقاط والإرجاع الجغرافي في UTM 1984 Proget cordenat systems واقتصاص منطقة الدراسة، وإجراء عملية تحليل السطوح بتحليل فئات الانحدار للسطح من خلال صندوق أدوات التحليل والانتقال Spatial Analyst Tools ثم اختيار Surface ثم Slope وتحديد فئات الانحدار بعد ذلك لتطبيق معيار ميل سطح الأرض بالدرجات وتحويل الجزء المقتص من نموذج الارتفاع الرقمي من Victor إلى Raster ثم رسم مناطق استخدامات الأرض من المرئية الفضائية.

## 5.7- تحديد المعايير وأوزانها:

تعد عملية تحديد المعايير وأوزانها من الخطوات المهمة في إعداد النموذج النهائي للملائمة المكانية، وهو بشكل عام يعتمد على نوع البيانات المكانية التي يتم الاعتماد عليها في معرفة المواضع المناسبة لإنشاء هذه المحطات.

## 6.7 - تحليل المسافات: Path Distance

وهو تحليل مرتبط بعملية المطابقة لأوزان المعايير حيث يتم حساب البعد عن كل معيار من المعايير المستخدمة في عملية الملائمة، كشبكة الطرق واستخدامات الأرض بحيث تقاس مسافة البعد بالكيلو متر، باستخدام أداة Distance Path .

## 7.7- إعادة تصنيف المعايير: Reclassify

حيث صنف المعايير إلى رتب تبين مدى صلاحية البعد والقرب عن كل معيار بالنسبة لمحطات الطاقة الشمسية، ويتم إعادة تصنيف المعايير من صندوق أدوات Arc Tool Box ثم Spatial Analyst Tools، ثم اتيار أداة Reclass ومنها إلى Reclassify، بعد ذلك يتم تصنيف المعايير برتب رقمية من 1-7.

جدول (3) معايير انسب مواضع تجميع الطاقة الشمسية

نوع المعيار	المعيار	الفئات	الملائمة
تقني	الاشعاع الشمسي (كيلو وات / متر مربع / يوم)	اكبر من 8 8 - 6 6 - 4.5 أقل من 4.5	عالية متوسطة قليلة غير ملائمة
	ميل سطح الأرض (درجة)	3 - 0 5 - 3 10 - 5 اكبر من 10	عالية متوسطة قليلة غير ملائمة
اقتصاد بيئي	البعد عن شبكة الطرق (كم)	اكبر من 5 اصغر من 5	ملائم غير ملائم
	البعد عن الشواطئ (كم)	اكبر من 5 اصغر من 5	ملائم غير ملائم
	البعد عن المدن (كم)	اكبر من 5 اصغر من 5	ملائم غير ملائم
	البعد عن المطارات (كم)	اكبر من 3 اقل من 3	ملائم غير ملائم
قيود	حدود التجمعات العمرانية	—	غير ملائم
	الاراضي الزراعية	—	
	السبخات	—	

المصدر: جمعة محمد داود وآخرون، تحديد أفضل المواقع لتجميع الطاقة الشمسية في منطقة مكة المكرمة الادارية باستخدام نظم المعلومات الجغرافية متعددة المعايير، الملتقى الوطني الحادي عشر لتطبيقات نظم المعلومات الجغرافية، جامعة الأمام عبدالرحمن بن فيصل، 13، إبريل، 2017.

#### 8.7 - الأسلوب الإحصائي:

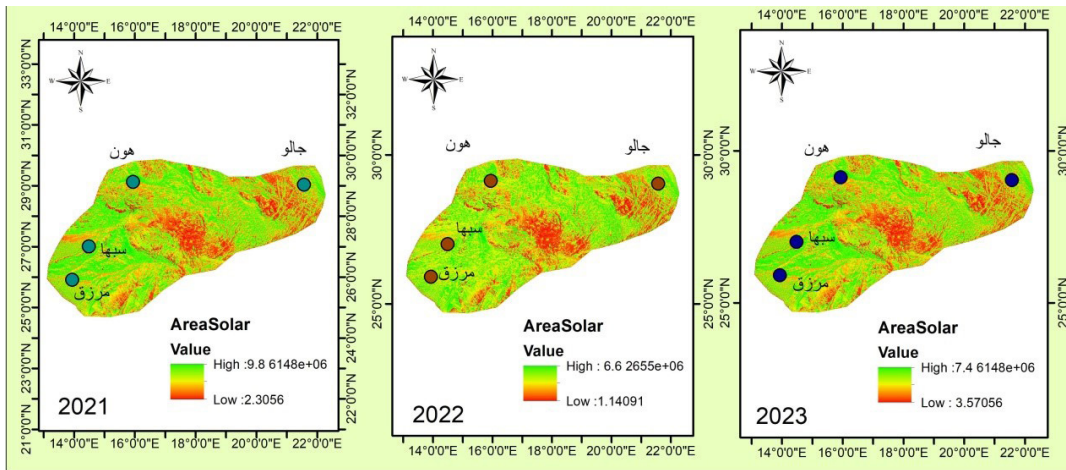
تم الاعتماد عليه في تحليل البيانات المناخية للمدة الزمنية (1990-2020) لمحطات جالو وهون وسبها ومرزق، والتي تم تفريغها وتحليلها باستخدام برنامج Excel 2010 Microsoft لاستخراج المتوسطات الحسابية والانحرافات المعيارية والتمثيل البياني للجدول.

#### 9.7- تقدير الإشعاع الشمسي للمدة الزمنية (2021 - 2023)

تم تقدير كمية الإشعاع الشمسي بالاعتماد على نموذج الارتفاع الرقمي DEM عن طريق تحديد ارتفاع كل منطقة عن مستوى سطح البحر ويتم تقدير الإشعاع الشمسي بطريقتين هما:

1 - تقدير الإشعاع الشمسي لنقطة محددة عن طريق أداة Point Solar Radiation.

2 - تقدير الإشعاع الشمسي لمساحة كبيرة عن طريق أداة Area Solar Radiation . وذلك من خلال صندوق أدوات التحليل، ثم الانتقال إلى Spatial Analyst Tools ومنه إلى Solar Radiation ثم Area Solar Radiation ثم إدخال طبقة Ship Fail بعد ذلك تم تحديد السنوات المطلوب تقديرها، وتحديد الشهور والساعات، فبدأ البرنامج في إجراء عملية التحليل ويكون ناتج العملية نموذج ارتفاع رقمي جديد متدرج الألوان لكل لون قيمة رقمية توضح كمية الإشعاع الشمسي في كامل المساحة، شكل (3)، أما بالنسبة للنقاط تظهر القيم في جدول خاص لكل نقطة.



المصدر: عمل الباحث اعتماداً على تحليل نموذج الارتفاع الرقمي.

شكل (3) تباين قيم الإشعاع الشمسي المقدر على كامل المساحة المستقطعة.

8 - الدراسات السابقة:

دراسة جاد الرب، (2013)، بعنوان "الطاقة المتجددة في مصر (دراسة في الجغرافية الاقتصادية باستخدام نظم المعلومات الجغرافية)" وتناولت الدراسة عدة مواضيع في الطاقة المتجددة في مصر، واستخدمت أسلوب المعايير المتعددة لتحديد أفضل المواقع لاستغلال الطاقة المتجددة واتضح من الدراسة ان النصف الجنوبي من شبه جزيرة سيناء وشمال ووسط الصحراء الغربية ومناطق متفرقة بالصحراء الشرقية أكثر ملائمة لطاقة الرياح.

دراسة إبراهيم، (2016)، بعنوان "تقدير مركبة الإشعاع الشمسي المنتشر لعدد من المناطق الليبية"، هدفت الدراسة الى تقدير مركبة الإشعاع الشمسي المنتشر لعدد 16 موقعا موزعة جغرافيا على شمال ووسط وجنوب البلاد وهي طرابلس، سرت، بنينة، إجدابيا، شحات، طبرق، غدامس، القريات، هون، جالو، الجغبوب، غات، سبها، تازربو، الكفرة، ونالوت، وقد اعتمدت على بيانات تم الحصول عليها من المركز الوطني للأرصاد الجوية في ليبيا، والتي تغطي مدة ثلاثين سنة (1976-2005)، وتشمل الرطوبة النسبية وساعات السطوع للشمس، وعليه اعتمد لتقدير هذا الإشعاع في بقية المواقع الليبية المذكورة، وقد تبين أن  $2.0976 \text{ kw.h/m}^2$  متوسط الإشعاع الشمسي المنتشر على سطح أفقي في ليبيا،

أما يقترب شعاع الشمسي الكلي الساقط على سطح أفقي لنفس المواقع فقد تم حسابه باستخدام نموذج دقنيايوكس وليمون الذي يعتمد على ساعات السطوع. ، وقد وجد أن زوايا الميلان المثلث السنوية (1 - 61) ° ووجد أن زوايا الميلان للمواقع المختارة تتراوح لمدن سبها وغات والكفرة وتازربو إلى 26°، وهذه النتائج تعد جوهرية لأية منظومة تجميع طاقة شمسية يزمع تركيبها في أي من المواقع المذكورة أو المناطق القريبة.

دراسة داود وآخرين، (2017)، بعنوان "تحديد أفضل المواقع لتجميع الطاقة الشمسية في منطقة مكة المكرمة الادارية باستخدام نظم المعلومات الجغرافية متعددة المعايير" تطرقت الدراسة إلى تطبيق أسلوب نظم المعلومات الجغرافية متعددة المعايير لتحديد أنسب المواقع لتجميع الطاقة الشمسية اعتمادا على مجموعة من الشروط والمعايير المطلوبة سواء الجغرافية أو الفنية أو البيئية أو الاقتصادية للحصول على نموذج ملائمة رقمي يوضح أفضل مواقع إنشاء محطات الطاقة الشمسية وقامت الدراسة بتحديد المعايير المطلوبة وفقا للمواصفات العالمية وإنشاء قاعدة بيانات جغرافية رقمية لهذه الاشتراطات في نظام معلومات جغرافي متكامل بهدف الحصول على نموذج الملائمة المكانية المطلوب.

دراسة عبد الخالق، (2018)، بعنوان : "التوزيع الأمثل لمواقع استغلال الطاقة الشمسية بمحافظة النعيرية باستخدام نظم المعلومات الجغرافية" استهدفت الدراسة الى معرفة معدلات الاشعاع الشمسي في منطقة الدراسة وتطبيق التقنيات الحديثة لتحديد المناطق التي تحقق الاستفادة في استخدام الطاقة الشمسية مستقبلا والخروج بخرائط توضح أعلى وادنى مناطق الاستفادة من كميات الطاقة الشمسية، وذلك باستخدام المنهج الاقليمي في دراسة امكانيات الطاقة الشمسية، واستخدام منهج التحليل المكاني لإبراز الاختلافات المكانية وتحليلها بمنطقة الدراسة وتطبيق أسلوب المعايير المتعددة الذي يهدف إلى نموذج نهائي يمكن الحكم من خلاله على مدى الملائمة المكانية لإنشاء محطات طاقة شمسية.

دراسة مرعي، (2018)، بعنوان: "الملائمة المكانية لاختيار محطة طاقة شمسية لقرية صيدا" وضعت الدراسة طريقة نظم المعلومات الجغرافية (GIS) متعددة المعايير في دراسة إمكانية توافر عدد من المعايير الطبيعية والاقتصادية والبيئية في بقعة مكانية محددة، بالإضافة لتحديد أفضل موقع لاختيار محطة طاقة شمسية بناءً على عدة معايير تؤخذ بعين الاعتبار كميل السطح، والاشعاع الشمسي، واستخدامات الأرض والشبكة الكهربائية. وتم حساب عدد الألواح الشمسية اللازمة لتوفير حاجة القرية من الكهرباء حيث بلغت 150 لوح شمسي يحتوي كل لوح على 2 خلية شمسية.

9- التحليل الإحصائي لبيانات السطوع الشمسي للمدة الزمنية (1990-2020)

تم تحليل المتوسطات والانحرافات المعيارية وحسابها وفق جدول (4) اعتماداً على البيانات المناخية لمحطات الدراسة للمدة (1990-2020) وذلك على النحو التالي:

## جدول (4) متوسطات السطوع الشمسي اليومي للسنوات (1990-2020)

المنطقة								السنوات
جالو		هون		مرزق		سبها		
الانحراف المعياري	المتوسط الحسابي	الانحراف المعياري	المتوسط الحسابي	الانحراف المعياري	المتوسط الحسابي	الانحراف المعياري	المتوسط الحسابي	
2.08	8.84	2.08	8.84	1.79	9.13	1.93	8.99	1990
2.08	8.84	2.08	8.85	1.79	9.14	1.93	8.99	1991
2.08	8.83	2.08	8.84	1.79	9.13	1.94	8.98	1992
2.08	8.84	2.08	8.84	1.79	9.13	1.93	8.99	1993
2.08	8.84	2.08	8.85	1.79	9.14	1.93	8.99	1994
2.08	8.84	2.08	8.85	1.79	9.13	1.93	8.99	1995
2.08	8.83	2.08	8.83	1.79	9.12	1.94	8.98	1996
2.08	8.84	2.08	8.84	1.79	9.13	1.93	8.99	1997
2.08	8.84	2.08	8.84	1.79	9.13	1.93	8.99	1998
2.08	8.84	2.08	8.84	1.79	9.13	1.93	8.99	1999
2.08	8.83	2.08	8.83	1.79	9.12	1.94	9.98	2000
2.08	8.84	2.08	8.84	1.79	9.13	1.93	8.99	2001
2.08	8.84	2.08	8.84	1.79	9.13	1.93	8.99	2002
2.08	8.84	2.08	8.84	1.79	9.13	1.93	8.99	2003
2.08	8.83	2.08	8.83	1.79	9.12	1.94	8.98	2004
2.08	8.84	2.08	8.84	1.79	9.13	1.93	8.99	2005
2.08	8.84	2.08	8.84	1.79	9.13	1.93	8.99	2006
2.08	8.84	2.08	8.84	1.79	9.13	1.93	8.99	2007
4.42	3.32	2.72	6.07	2.72	6.35	2.72	6.21	2008
2.08	8.83	2.07	8.83	1.79	9.11	1.94	8.98	2009
2.08	8.83	2.07	8.83	1.79	9.11	1.93	8.98	2010
2.07	8.83	2.07	8.83	1.79	9.12	1.93	8.97	2011
2.07	8.82	2.72	6.07	1.79	9.10	1.94	8.97	2012
2.79	6.05	2.79	6.05	2.79	6.33	4.53	3.44	2013
2.07	8.80	2.07	8.81	1.79	9.08	1.93	8.95	2014
1.13	0.50	2.79	6,04	1.79	9.09	1.93	8.95	2015
2.71	6.05	2.71	6.05	2.72	6.33	2.72	6.19	2016
2.07	8.80	2.79	6.04	2.79	6.32	2.79	6.19	2017
4.52	3.29	4.52	3.29	1.16	0.82	4.53	3.44	2018
2.07	8.80	2.79	6.04	2.79	6.32	2.79	6.19	2019
6.22	3.18	1.99	8.95	1.71	9.22	1.85	9.09	2020

المصدر: بيانات المركز الوطني للأرصاد الجوية، طرابلس، www.climate، data sources.com .

لوحظ من بيانات الجدول (4) أن مدينة سبها سجلت أعلى متوسط حيث بلغ (9.98) بانحراف معياري قدره (1.94) عام 2000، تليها مدينة مرزق بمتوسط بلغ (9.22) وانحراف معياري قدره (1.71) عام 2020 خلال المدة الزمنية (1990-2020)، في حين أن أدنى متوسط بلغ (0.50) بانحراف معياري قدره (1.13)، وذلك في مدينة جالو خلال العام 2015 .

إن الاختلاف في قيم الإشعاع الشمسي في منطقة الدراسة يعود إلى حركة الشمس الظاهرية بحكم موقعها بالنسبة لدوائر العرض واختلاف زاوية سقوط الإشعاع الشمسي مما أدى إلى تباين كمية الأشعة الواصلة إلى منطقة الدراسة شهرياً وفصلياً وسنوياً نتيجة الاختلاف في عدد ساعات سطوع الشمس.

10- تقدير الإشعاع الشمسي للمدة الزمنية (2021 – 2023)

1.10- تقدير الإشعاع الشمسي لبعض شهور السنة للمناطق المستهدفة بالدراسة:

جدول (5) تقدير قيمة الإشعاع الشمسي  
لبعض شهور السنة للمناطق المستهدفة بالدراسة

السنوات	قيمة الإشعاع الشمسي المقدر / كيلو واط ساعة / م <sup>2</sup>		
	2023	2022	2021
المدينة			
جالو	4.0	1.9	4.1
هون	3.5	5.0	0.5
سبها	7.2	6.2	1.6
مرزق	4.3	8.5	3.5

المصدر: تحليل نموذج الارتفاع الرقمي DEM باستخدام أداة Solar Radiation

من خلال الجدول (5) المتعلق بتقدير كمية الإشعاع الشمسي للمدة الممتدة (1- يونيو- 2021) حتى (15- أكتوبر- 2021) لمحطات جالو وهون وسبها ومرزق، باستخدام تحليلات الإشعاع الشمسي لكل محطة من المحطات المستهدفة بالدراسة كل 10 أيام لكل حقبة قياس تقديرية بفواصل زمني قدره 2 ساعة، تبين أن قيمة الإشعاع الشمسي الكلي المقدر الساقط على مدينة جالو بلغ (4.1) كيلو واط ساعة / م<sup>2</sup>، في حين بلغت قيمة الإشعاع الشمسي الكلي المقدر الساقط على مدينة هون (0.5) كيلو واط ساعة / م<sup>2</sup>، وهي الأقل في معدل الإشعاع الشمسي المقدر في منطقة الدراسة، أما مدينة سبها فقد بلغت قيمة الإشعاع الشمسي الكلي المقدر الساقط عليها ((1.6) كيلو واط ساعة / م<sup>2</sup>، أما مدينة مرزق وهي الأعلى قيمة بلغ الإشعاع الشمسي المقدر الساقط عليها (3.5) كيلو واط ساعة / م<sup>2</sup>.

في حين أن قيمة الإشعاع الشمسي الكلي المقدر للفترة الممتدة (1- يونيو- 2022) حتى (15- أكتوبر- 2022) بلغت كمية الإشعاع الشمسي الساقطة على مدينة جالو بلغ (1.9) كيلو واط ساعة / م<sup>2</sup>، أما في مدينة هون فقد وصلت قيمة الإشعاع الشمسي الكلي المقدر (5.0) كيلو واط ساعة / م<sup>2</sup>، في حين ترتفع هذه القيمة لتصل إلى (6.2) كيلو واط ساعة / م<sup>2</sup>، في مدينة سبها، وتزداد قيمة الإشعاع الشمسي الكلي المقدر الساقط على مدينة مرزق لتصل إلى (8.5) كيلو واط ساعة / م<sup>2</sup>.

أما قيمة الإشعاع الشمسي الكلي المقدر للمدة الممتدة (1- يونيو- 2023) حتى (15- أكتوبر- 2023) على مدينتي جالو ومرزق بلغت (4.0) و (4.3) كيلو واط ساعة / م<sup>2</sup> على التوالي، لكل 10 أيام بفاصل زمني قدره 2 ساعة، في حين أن هذه القيمة تناقصت في مدينة هون حيث بلغت قيمة الإشعاع الشمسي الكلي المقدر الساقط عليها (3.5) كيلو واط ساعة / م<sup>2</sup>، في حين تزايدت هذه القيمة بشكل كبير في مدينة سبها حيث بلغت قيمة الإشعاع الشمسي الكلي المقدر الساقط عليها (7.2) كيلو واط ساعة / م<sup>2</sup>.

2.10 - تقدير قيمة الإشعاع الشمسي لكل شهور السنة للمناطق المستهدفة بالدراسة:

جدول (6) تقدير قيمة الإشعاع الشمسي لكل شهور السنة للمناطق المستهدفة بالدراسة

السنوات	قيمة الإشعاع الشمسي المقدر / كيلو واط ساعة / م <sup>2</sup>		
	2023	2022	2021
المدينة			
جالو	7.4	1.1	3.6
هون	9.4	1.4	4.2
سبها	6.6	4.6	2.3
مرزق	3.5	6.6	9.8

المصدر: تحليل نموذج الارتفاع الرقمي DEM باستخدام أداة Solar Radiation.

من خلال الجدول (6) المتعلق بتقدير كمية الإشعاع الشمسي للمحطات قيد الدراسة خلال شهور السنة 2021، تبين أن قيمة الإشعاع الشمسي الكلي المقدر الساقط على مدينة جالو بلغ (3.6) كيلو واط ساعة / م<sup>2</sup>، كما قدرت قيمة الإشعاع الشمسي الكلي الساقط على مدينة هون (4.2) كيلو واط ساعة / م<sup>2</sup>، أما قيمة الإشعاع الشمسي الكلي المقدر الساقط على مدينة سبها بلغت (2.3) كيلو واط ساعة / م<sup>2</sup>، في حين سجلت مدينة مرزق أعلى قيمة للإشعاع الشمسي الكلي المقدر الساقط عليها حيث وصل إلى (9.8) كيلو واط ساعة / م<sup>2</sup>.

في حين أن قيمة الإشعاع الشمسي الكلي المقدر الساقط لكل الشهور للعام 2022 على مدينة جالو بلغ (1.1) كيلو واط ساعة / م<sup>2</sup> وهذه القيمة متقاربة نوعاً ما مع قيمة الإشعاع الشمسي الكلي المقدر الساقط على مدينة هون والذي بلغ (1.4) كيلو واط ساعة / م<sup>2</sup>، في حين بلغت قيمة الإشعاع الشمسي الكلي المقدر الساقط على مدينة سبها (4.6) كيلو واط ساعة / م<sup>2</sup>، أما مدينة مرزق فقد استحوذت على أعلى قيمة مقدرة من الإشعاع الشمسي وبلغت (6.6) كيلو واط ساعة / م<sup>2</sup>.

ووصلت قيمة الإشعاع الشمسي الكلي المقدر الساقط لكل الشهور للعام

2023 على مدينة جالو (7.4) كيلو واط ساعة / م<sup>2</sup>، وفي مدينة هون (9.4) كيلو واط ساعة / م<sup>2</sup>، وبلغ في مدينة سبها (6.6) كيلو واط ساعة / م<sup>2</sup>، أما في مدينة مرزق بلغ (3.5) كيلو واط ساعة / م<sup>2</sup>.

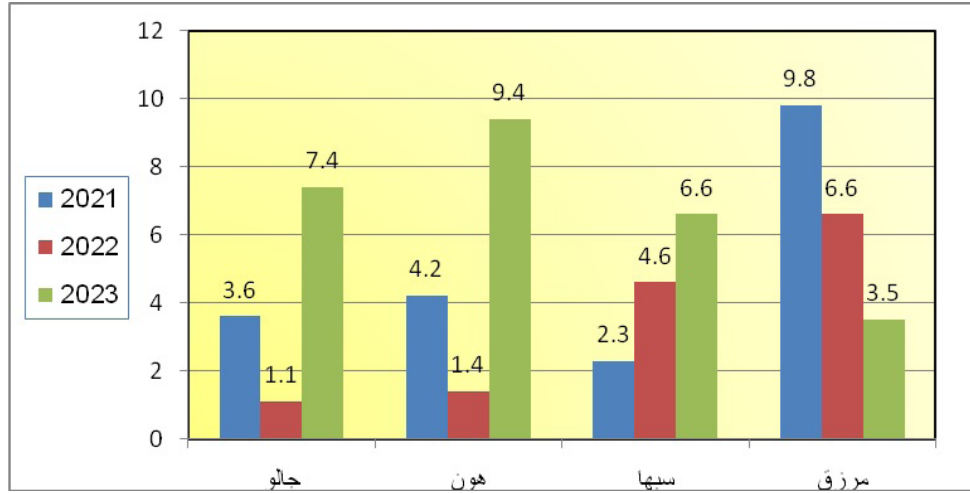
جدول (7) المتوسطات الحسابية والانحرافات المعيارية للقيم المقدرة للإشعاع الشمسي في المناطق المدروسة لكل منطقة للسنوات (2021، 2022، 2023)

المنطقة	السنوات	الإشعاع الشمسي المقدر / كيلو واط ساعة / م <sup>2</sup>	★ المتوسط	★ الانحراف المعياري
جالو	2021	3.6	4.0	3.1
	2022	1.1		
	2023	7.4		
هون	2021	4.2	5	4.0
	2022	1.4		
	2023	9.4		
سبها	2021	2.3	4.5	2.1
	2022	4.6		
	2023	6.6		
مرزق	2021	9.8	6.6	3.1
	2022	6.6		
	2023	3.5		

المصدر: تحليل نموذج الارتفاع الرقمي DEM باستخدام أداة Solar Radiation جدول (5، 6).

★ اعتمادا على Excel 2010 Microsoft

من خلال الجدول (7) المتعلق بحساب المتوسطات الحسابية، والانحرافات المعيارية للقيم المقدرة للإشعاع الشمسي لكل منطقة من المناطق المستهدفة بالدراسة للسنوات (2021، 2022، 2023) بلغ المتوسط العام للإشعاع الشمسي المقدر في مدينة جالو (4.0)، وانحراف معياري (3.1)، في حين سجلت مدينة هون متوسطاً قدره (5)، وانحراف معياري (4.0) خلال سنوات الدراسة التقديرية، أما مدينة سبها فقد سجلت متوسطاً بلغ (4.5) وانحرافاً معيارياً (2.1)، في حين أن مدينة مرزق سجلت أعلى متوسط بمقدار (6.6)، وانحرافاً معيارياً (3.1)، خلال سنوات الدراسة التقديرية، شكل (4).



المصدر: جدول (7)

شكل (4) التباين في قيم الإشعاع الشمسي المقدر للمناطق المستهدفة بالدراسة للفترة (2021-2023).

جدول (8) المتوسطات الحسابية والانحرافات المعيارية للقيم المقدرة للإشعاع الشمسي للمناطق المدروسة لمدة عام كامل للسنوات (2021، 2022، 2023)

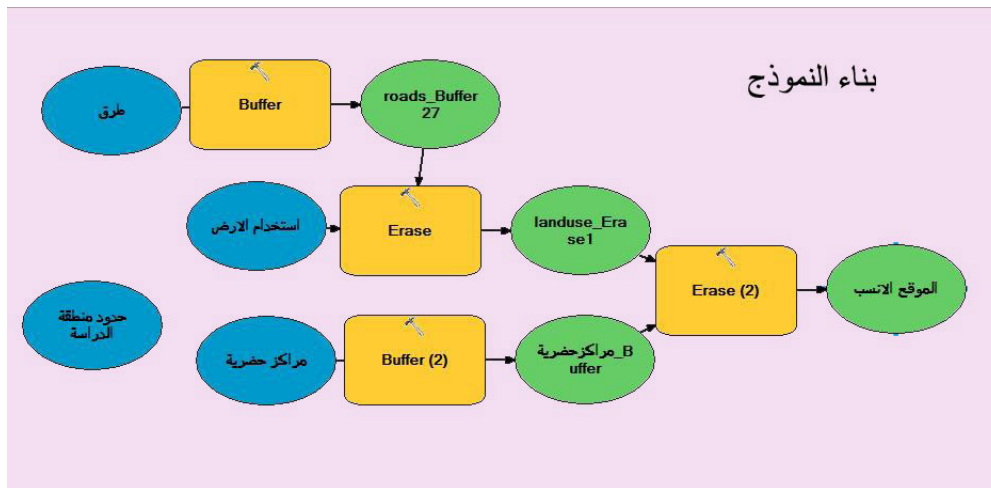
★الانحراف المعياري	★المتوسط	قيمة الإشعاع الشمسي المقدر / كيلو واط ساعة/م <sup>2</sup>	
3.3	4.9	3.6	جالو
		4.2	هون
		2.3	سبها
		9.8	مرزق
الانحراف المعياري	المتوسط	قيمة الإشعاع الشمسي المقدر / كيلو واط ساعة/م <sup>2</sup>	
2.6	3.2	1.1	جالو
		1.4	هون
		4.6	سبها
		6.6	مرزق
الانحراف المعياري	المتوسط	قيمة الإشعاع الشمسي المقدر / كيلو واط ساعة/م <sup>2</sup>	
2.4	6.7	7.4	جالو
		9.4	هون
		6.6	سبها
		3.5	مرزق

المصدر: جدول (5، 6) \* اعتمادا على Microsoft Excel 2010

من الجدول (8) المتعلق بحساب المتوسطات الحسابية والانحرافات المعيارية للقيم المقدرة للإشعاع الشمسي تبين أن هناك اختلافاً في قيم المتوسط الحسابي للمناطق المستهدفة بالدراسة خلال المدة الممتدة (2021 - 2023) بلغ المتوسط العام لمجموع القيم المقدرة لعام 2021 للمناطق سالفة الذكر (4.9) وبانحراف معياري (3.3)، في حين أن هاتين القيمتين انخفضتا عام 2022 حيث بلغ المتوسط العام (3.2)، والانحراف المعياري (2.6)، وذلك نتيجة لانخفاض قيم الإشعاع الشمسي المقدرة ويُلاحظ أن قيمة المتوسط قد بلغت (6.7) عام 2023 نظراً لارتفاع قيم الإشعاع الشمسي المقدرة في المناطق المدروسة، كما بلغ انحرافها المعياري (2.4). 11- نماذج الملاءمة النهائية لاختيار مواضع محطات الطاقة الشمسية:

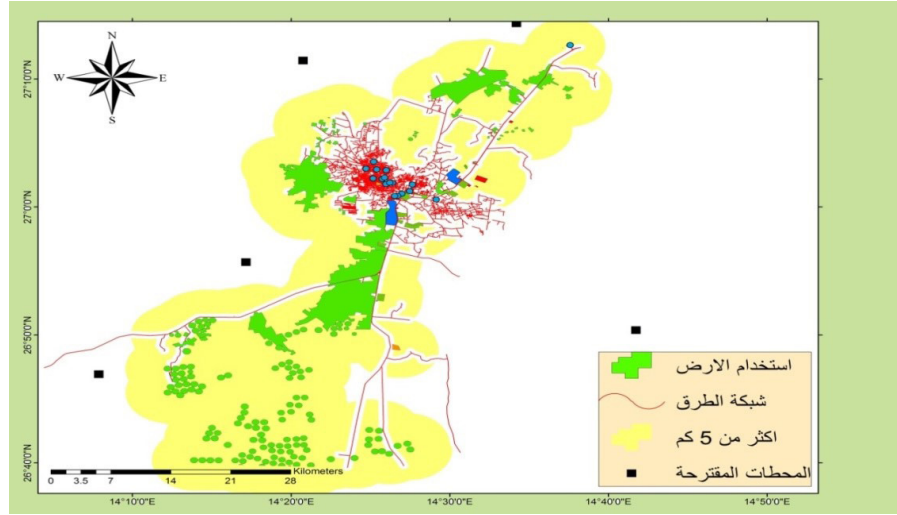
يعتمد بناء نموذج الملائمة النهائية في اختيار مواضع محطات الطاقة الشمسية على عدد من المعايير منها معايير تقنية ومعايير اقتصادية، وقيود طبيعية وبشرية، وتعتمد هذه المعايير على فئات ملائمة مكانية، كاستواء السطح الذي ستقام عليه المحطة وبعده عن المباني وقربه من خطوط الكهرباء، وبعده عن العوائق الطبيعية كالجبال والهضاب.

1.11- الملاءمة المكانية: تم التعامل في هذه الخطوة مع المخرجات التي تمت إعادة تصنيفها بعد عملية بناء النموذج Builder شكل (5)، تمهيداً لتطبيق تحليل الوزن والجمع، وتم الوصول للأداة من صندوق أدوات التحليل، والانتقال إلى Spatial Analysis ثم Overlay ومنه تم اختيار Weighted Overlay بعد عملية بناء النموذج الأشكال (6 - 7 - 8 - 9).



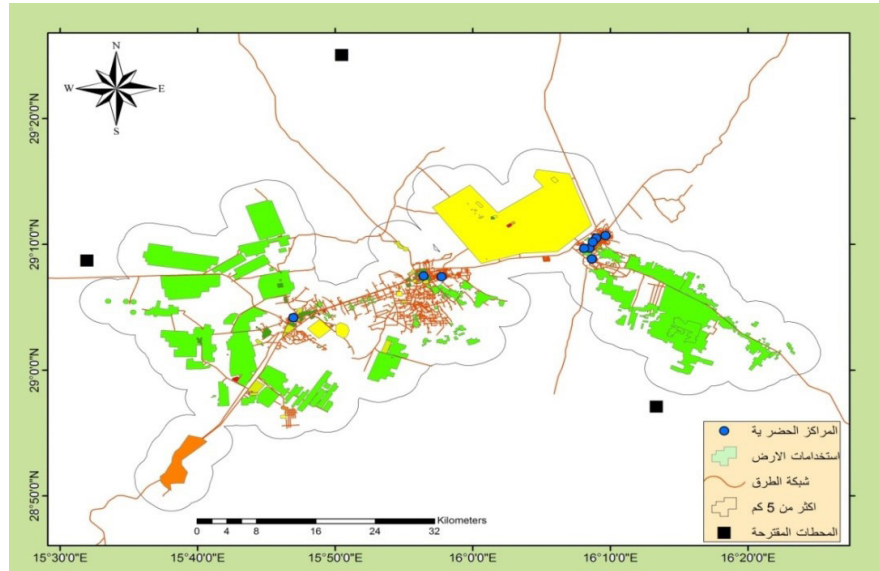
المصدر: برنامج Arc map10.5 ، شكل (5) بناء نموذج الملائمة Builder

## 2.11 – نموذج الملائمة النهائية:



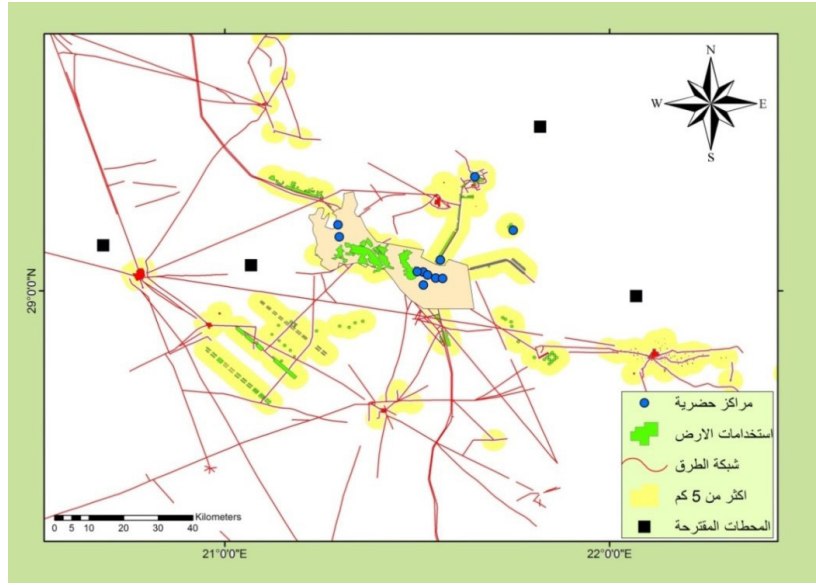
المصدر: برنامج Arc map10.5،

شكل (6) نموذج الملائمة النهائية لمدينة سبها.



المصدر: برنامج Arc map10.5

شكل (7) نموذج الملائمة النهائية لمنطقة هون (الجفرة).



المصدر: برنامج Arc map10.5

شكل (9) نموذج الملائمة النهائية لمدينة مرزق.

## 12- النتائج:

- 1- حققت مدينة مرزق على أعلى قيمة للإشعاع الشمسي المقدّر للشهور عام 2021 حيث بلغت (9.8) كيلو واط ساعة/م<sup>2</sup>.
- 2 - تركزت أعلى قيمة للإشعاع الشمسي المقدّر للشهور في مدينة مرزق ووصلت (6.6) كيلو واط ساعة/م<sup>2</sup> خلال العام 2022 .
- 3 - تركزت أعلى قيمة للإشعاع الشمسي المقدّر للشهور خلال العام 2023 في مدينة هون بمقدار (9.4) كيلو واط ساعة/م<sup>2</sup>.
- 4 - يتركز أعلى متوسط لقيم الإشعاع الشمسي المقدّر لعام 2021 ما قيمته (9.8) في مدينة مرزق، في حين أدنى متوسط بلغ (2.3) في مدينة سبها.
- 5 - بلغ أعلى متوسط لقيم الإشعاع الشمسي المقدّر ما قيمته (6.6) في مدينة مرزق لعام 2022، أما أدنى متوسط للقيم المقدرة بلغ (1.1) في مدينة جالو.
- 6 - سجلت مدينة هون أعلى متوسط لقيم الإشعاع الشمسي المقدّر بمقدار (9.4) لعام 2023، في حين أن أدنى متوسط لنفس العام بلغ (3.5) في مدينة مرزق.

## 13- التوصيات:

- 1 - استغلال دور الطاقة المتجددة في تنوع الاقتصاد المحلي وفائدتها الاجتماعية.
- 2 - تشجيع البحث والتطوير في مجال الطاقات المتجددة واستغلالها، خاصة الطاقة الشمسية من خلال إنشاء معاهد ومراكز وكليات متخصصة في هذا المجال .
- 3 - إجراء المزيد من الدراسات لتحديد أفضل التطبيقات والتقنيات الخاصة باستغلال الإشعاع الشمسي والتي تتوافق مع طبيعة ومعطيات منطقة الدراسة.
- 4 - الاستفادة من تجارب الدول الأخرى في مجال الطاقة الشمسية لاسيما الدول العربية ذات الطبيعة الصحراوية التي تتشابه إلى حد كبير مع الظروف المناخية لمنطقة الدراسة.

## 14- المصادر والمراجع:

المركز الوطني للأرصاد الجوية، طرابلس، (بيانات غير منشورة)، 1990-2010.  
الحاج، عبد السلام محمد (2016) استخدام الطاقات المتجددة في تحقيق التنمية المستدامة بالمنطقة الساحلية في وسط ليبيا، المؤتمر العلمي الرابع للبيئة والتنمية المستدامة بالمناطق الجافة وشبه الجافة، اجدابيا، المجلد الرابع، 22 نوفمبر.

الصيد، عمر علي إبراهيم، (2018) دراسة وتقييم وضع الطاقة المتجددة في البلاد العربية - ليبيا حالة للدراسة، مجلة جامعة بنغازي الحديثة للعلوم والدراسات الإنسانية، العدد الثالث.

الغويل، عبد الباسط محمد، عمار، حمد سالم (2016) حساب وتحليل كمية الإشعاع الشمسي الكلي الساقط على السطح الأفقي لكلية العلوم زليتن باستخدام نوعين لوحات القدرة المستقبلية (السليكون والكادميوم تليرايت)، مجلة الجامعة الأسمرية للعلوم الأساسية والتطبيقية، العدد الأول.

داود، جمعة، وآخرون، 2017، تحديد أفضل المواقع لتجميع الطاقة الشمسية في منطقة مكة المكرمة الإدارية باستخدام نظم المعلومات الجغرافية متعددة المعايير، الملتقى الوطني الحادي عشر لتطبيقات نظم المعلومات الجغرافية، جامعة الأمام عبدالرحمن بن فيصل.

فتحي، هبة الله، شومان، محمد موسى (2009). المردود البيئي لاستخدامات الطاقة الشمسية في مصر (رسالة ماجستير غير منشورة)، قسم العلوم الإنسانية البيئية، معهد الدراسات والبحوث البيئية جامعة عين شمس.

قلية، منصور علي 2019، إمكانية استخدام الطاقة الشمسية في ليبيا، دراسة في جغرافية الخدمات مجلة كليات التربية جامعة الزاوية، العدد التاسع، نوفمبر. محمود، عبد الحكيم (2012) الطاقة المتجددة في الوطن العربي، المؤتمر الدولي للعلوم التطبيقية والهندسة والتكنولوجيا والإدارة، مؤتمر منظمة المجتمع العلمي العربي، دبي، الإمارات، 04 نوفمبر.

مرعي، حمد علي (2018) الملائمة المكانية لاختيار محطة طاقة شمسية لقرية صيدا، كلية الاقتصاد والعلوم الاقتصادية، قسم الجغرافيا التطبيقية والجيوماتكس، جامعة النجاح الوطنية..

ندار، ابوبكر عبيدة ، بالحاج، سهام مفتاح (2014) ،الطاقة الشمسية وسبل استغلالها في الجنوب الليبي لتحقيق التنمية المستدامة، المؤتمر العلمي الثاني

لكلية التربية العجالات والأول لقسم الجغرافيا تحت عنوان المقومات الجغرافية والسياسات الاقتصادية لليبييا وأثرها في تحقيق التنمية المستدامة.

Frankfurt School-UNEP Centre/BNEF (2018). GLOBAL TRENDS IN RE-NEWABLE ENERGY INVESTMENT،

Papageorgas،Smart Solar Panels (2013) In-situ monitoring of photovoltaic panels based on wired and wireless sensor networks،TerraGreen 13 International Conference - Advancements in Renewable Energy and Clean Environment،

Rifkin, J. The hydrogen economy (2002) The creation of the world wide energy web and the redistribution of power on earth, Oxford.

data sources.com www.climate.